

Transversal electric conductivity and dielectric function in quantum Maxwell collisional plasma

A. V. Latyshev¹ and A. A. Yushkanov²

*Faculty of Physics and Mathematics,
Moscow State Regional University, 105005,
Moscow, Radio str., 10-A*

Abstract

Formulas for transversal conductance and dielectric permeability (dielectric function) in quantum Maxwell collisional plasma are deduced. The kinetic equation with collision integral in the form relaxation type is used.

Key words: quantum Maxwell collisional plasma, electric conductivity, dielectric function.

PACS numbers: 03.65.-w Quantum mechanics, 05.20.Dd Kinetic theory, 52.25.Dg Plasma kinetic equations.

ВВЕДЕНИЕ

В настоящей работе выводятся формулы для вычисления электрической проводимости и диэлектрической проницаемости в квантовой максвелловской столкновительной плазме. При выводе кинетического уравнения нами обобщается подход, развитый Климонтовичем и Силиным [1].

Диэлектрическая проницаемость в бесстолкновительной квантовой газовой плазме изучалась многими авторами [1]–[12]. В работе [5], где исследован одномерный случай квантовой плазмы, отмечалась важность вывода диэлектрической проницаемости с использованием квантового кинетического уравнения с интегралом столкновений в форме БГК–модели (Бхатнагар, Гросс, Крук). Настоящая работа посвящена выполнению этой задачи для максвелловской плазмы.

¹*avlatyshev@mail.ru*

²*yushkanov@inbox.ru*

Диэлектрическая проницаемость является одной из важнейших характеристик плазмы. Эта величина необходима для анализа поверхностных плазмонов [9], для изучения механизма проникновения электромагнитных волн в плазму [7], и для анализа других проблем в физике плазмы.

Кливер и Фукс [3] первыми заметили, что выведенная Линдхардом диэлектрическая функция для квантовой плазмы в столкновительном режиме не переходит в диэлектрическую функцию для классической плазмы в пределе, когда постоянная Планка \hbar стремится к нулю. Это значит, что диэлектрическая функция Линдхарда не учитывает корректно столкновения электронов. Кливер и Фукс "подправили" диэлектрическую функцию Линдхарда так, чтобы она переходила в классическую при $\hbar \rightarrow 0$. В работе [4] был проведен корректный учет столкновений в рамках релаксационной модели в пространстве импульсов электронов при построении продольной диэлектрической функции.

В то же время для поперечной диэлектрической проницаемости корректного учета влияния столкновений в квантовой максвелловской плазме до сих пор проведено не было.

Целью настоящей работы является устранение указанного выше пробела и вывод формул электрической проводимости и диэлектрической функции для квантовой максвелловской столкновительной плазмы.

1. КИНЕТИЧЕСКОЕ УРАВНЕНИЕ ДЛЯ ФУНКЦИИ ВИГНЕРА

Рассмотрим уравнение Шредингера, записанное для частицы в электромагнитном поле на матрицу плотности ρ :

$$i\hbar \frac{\partial \rho}{\partial t} = H\rho - H^* \rho. \quad (1.1)$$

Здесь H – оператор Гамильтона, H^* – комплексно сопряженный к H оператор, $H^{*'} – комплексно сопряженный к H оператор, действующий на штрихованные пространственные переменные \mathbf{r}' .$

Оператор Гамильтона свободной частицы, находящейся в поле скалярного потенциала U и в поле векторного потенциала \mathbf{A} , имеет

вид:

$$H = \frac{(\mathbf{p} - \frac{e}{c}\mathbf{A})^2}{2m} + eU =$$

$$= \frac{\mathbf{p}^2}{2m} - \frac{e}{2mc}(\mathbf{p}\mathbf{A} + \mathbf{A}\mathbf{p}) + \frac{e^2}{2mc^2}\mathbf{A}^2 + eU. \quad (1.2)$$

Здесь \mathbf{p} – оператор импульса, $\mathbf{p} = -i\hbar\nabla$, e – заряд электрона, m – его масса, c – скорость света.

Операторы H и H^* , вычисленные от матрицы плотности, имеют вид:

$$H\rho = -\frac{\hbar^2}{2m}\Delta\rho + \frac{ie\hbar}{2mc}\left(2\mathbf{A}\nabla\rho + \rho\nabla\mathbf{A}\right) + \frac{e^2}{2mc^2}\mathbf{A}^2\rho + eU\rho \quad (1.3)$$

и

$$H^*\rho = -\frac{\hbar^2}{2m}\Delta'\rho - \frac{ie\hbar}{2mc}\left(2\mathbf{A}'\nabla'\rho + \rho\nabla'\mathbf{A}\right) + \frac{e^2}{2mc^2}\mathbf{A}'^2\rho + eU'\rho. \quad (1.4)$$

Операторы ∇ и Δ в (1.3) и (1.4) действуют на нестрихованные пространственные переменные матрицы плотности, т.е. $\nabla = \nabla_{\mathbf{R}}$, $\Delta = \Delta_{\mathbf{R}}$. В операторе H^* следует заменить операторы $\nabla = \nabla_{\mathbf{R}}$ и $\Delta = \Delta_{\mathbf{R}}$ на операторы $\nabla' \equiv \nabla_{\mathbf{R}'}$ и $\Delta' \equiv \Delta_{\mathbf{R}'}$, кроме того, введены обозначения $\mathbf{A}' \equiv \mathbf{A}(\mathbf{R}', t)$, $U' \equiv U(\mathbf{R}', t)$. Связь между матрицей плотности $\rho(\mathbf{r}, \mathbf{r}', t)$ и функцией Вигнера $f(\mathbf{r}, \mathbf{p}, t)$ дается обратным и прямым преобразованиями Фурье

$$f(\mathbf{r}, \mathbf{p}, t) = \int \rho\left(\mathbf{r} + \frac{\mathbf{a}}{2}, \mathbf{r} - \frac{\mathbf{a}}{2}, t\right) e^{-i\mathbf{p}\mathbf{a}/\hbar} d^3a,$$

$$\rho(\mathbf{R}, \mathbf{R}', t) = \frac{1}{(2\pi\hbar)^3} \int f\left(\frac{\mathbf{R} + \mathbf{R}'}{2}, \mathbf{p}, t\right) e^{i\mathbf{p}(\mathbf{R} - \mathbf{R}')/\hbar} d^3p.$$

Функция Вигнера является аналогом функции распределения для квантовых систем. Подставляя представление матрицы плотности через функцию Вигнера в уравнение Шредингера на матрицу плотности (1.1), получаем следующее уравнение:

$$i\hbar\frac{\partial\rho}{\partial t} = \frac{1}{(2\pi\hbar)^3} \int \left\{ -\frac{i\hbar}{m}\mathbf{p}'\nabla f + \frac{ie\hbar}{2mc}\left[\operatorname{div}\mathbf{A}(\mathbf{R}, t) + \operatorname{div}\mathbf{A}(\mathbf{R}', t)\right]f + \right.$$

$$\left. + \frac{ie\hbar}{2mc}\left[\mathbf{A}(\mathbf{R}, t) + \mathbf{A}(\mathbf{R}', t)\right]\nabla f - \frac{e}{mc}\left[\mathbf{A}(\mathbf{R}, t) - \mathbf{A}(\mathbf{R}', t)\right]\mathbf{p}'f + \right.$$

$$+\frac{e^2}{2mc^2}[\mathbf{A}^2(\mathbf{R}, t) - \mathbf{A}^2(\mathbf{R}', t)]f + e[U(\mathbf{R}, t) - U(\mathbf{R}', t)]f \left. \vphantom{\frac{e^2}{2mc^2}} \right\} e^{i\mathbf{p}'(\mathbf{R}-\mathbf{R}')/\hbar} d^3p'. \quad (1.5)$$

В уравнении (1.5) положим

$$\mathbf{R} = \mathbf{r} + \frac{\mathbf{a}}{2}, \quad \mathbf{R}' = \mathbf{r} - \frac{\mathbf{a}}{2}.$$

Тогда в этом уравнении

$$f\left(\frac{\mathbf{R} + \mathbf{R}'}{2}, \mathbf{p}', t\right) e^{i\mathbf{p}'(\mathbf{R}-\mathbf{R}')/\hbar} = f(\mathbf{r}, \mathbf{p}', t) e^{i\mathbf{p}'\mathbf{a}/\hbar}.$$

Опуская длительные вычисления, приведем кинетическое уравнение для функции Вигнера:

$$\frac{\partial f}{\partial t} + \frac{1}{m} \left(\mathbf{p} - \frac{e}{c} \mathbf{A} \right) \nabla f - \frac{e}{mc} (\operatorname{div} \mathbf{A}(\mathbf{r}, t)) f(\mathbf{r}, \mathbf{p}, t) = W[f]. \quad (1.6)$$

В уравнении (1.6) символ $W[f]$ – интеграл Вигнера – Власова, определяемый равенством

$$\begin{aligned} W[f] = & \iint \left\{ \frac{e}{2mc} \left[\mathbf{A}(\mathbf{r} + \frac{\mathbf{a}}{2}, t) + \mathbf{A}(\mathbf{r} - \frac{\mathbf{a}}{2}, t) - 2\mathbf{A}(\mathbf{r}, t) \right] \nabla f + \right. \\ & + \frac{ie}{mch} \left[\mathbf{A}(\mathbf{r} + \frac{\mathbf{a}}{2}, t) - \mathbf{A}(\mathbf{r} - \frac{\mathbf{a}}{2}, t) \right] \mathbf{p}' f + \\ & + \frac{e}{2mc} \left[\operatorname{div} \mathbf{A}(\mathbf{r} + \frac{\mathbf{a}}{2}, t) + \operatorname{div} \mathbf{A}(\mathbf{r} - \frac{\mathbf{a}}{2}, t) - 2 \operatorname{div} \mathbf{A}(\mathbf{r}, t) \right] f - \\ & - \frac{ie^2}{2mc^2\hbar} \left[\mathbf{A}^2(\mathbf{r} + \frac{\mathbf{a}}{2}, t) - \mathbf{A}^2(\mathbf{r} - \frac{\mathbf{a}}{2}, t) \right] f - \\ & \left. - \frac{ie}{\hbar} \left[U(\mathbf{r} + \frac{\mathbf{a}}{2}, t) - U(\mathbf{r} - \frac{\mathbf{a}}{2}, t) \right] f \right\} e^{i(\mathbf{p}'-\mathbf{p})\mathbf{a}/\hbar} \frac{d^3a d^3p'}{(2\pi\hbar)^3}. \quad (1.7) \end{aligned}$$

Энергия частицы равна

$$\mathcal{E} = \mathcal{E}(\mathbf{r}, \mathbf{p}, t) = \frac{1}{2m} \left(\mathbf{p} - \frac{e}{c} \mathbf{A}(\mathbf{r}, t) \right)^2 + eU(\mathbf{r}, t).$$

Тогда скорость частицы \mathbf{v} равна

$$\mathbf{v} = \mathbf{v}(\mathbf{r}, \mathbf{p}, t) = \frac{\partial \mathcal{E}}{\partial \mathbf{p}} = \frac{1}{m} \left(\mathbf{p} - \frac{e}{c} \mathbf{A} \right),$$

кроме того,

$$\nabla \mathbf{v} = -\frac{e}{mc} \operatorname{div} \mathbf{A}.$$

Следовательно, левая часть уравнения (1.7) равна:

$$\begin{aligned} \frac{\partial f}{\partial t} + \frac{1}{m} \left(\mathbf{p} - \frac{e}{c} \mathbf{A} \right) \nabla f - f \frac{e}{mc} \operatorname{div} \mathbf{A} &= \frac{\partial f}{\partial t} + \mathbf{v} \nabla f + f \nabla \mathbf{A} = \\ &= \frac{\partial f}{\partial t} + \nabla(\mathbf{v}f). \end{aligned}$$

Поэтому уравнение (1.7) можно переписать в виде стандартном для теории переноса виде:

$$\frac{\partial f}{\partial t} + \frac{\partial}{\partial \mathbf{r}}(\mathbf{v}f) = W[f]. \quad (1.8)$$

2. РЕЛАКСАЦИОННАЯ МОДЕЛЬ КИНЕТИЧЕСКОГО УРАВНЕНИЯ

В случае столкновительной плазмы в правую часть кинетического уравнения (1.8) добавим интеграл столкновений релаксационного типа

$$\frac{\partial f}{\partial t} + \frac{\partial}{\partial \mathbf{r}}(\mathbf{v}f) = \frac{f^{(0)} - f}{\tau} + W[f]. \quad (2.1)$$

В уравнении (2.1) τ – среднее время между двумя последовательными столкновениями, $\tau = 1/\nu$, ν – эффективная частота столкновений, $f^{(0)}$ – локально равновесное распределение Максвелла–Больцмана,

$$f^{(0)} = N \left(\frac{\beta}{\pi} \right)^{3/2} e^{-\beta v^2}.$$

Здесь k_B – постоянная Больцмана, T – температура плазмы, N – концентрация (числовая плотность) электронов в равновесном состоянии. Введем безразмерную скорость электронов $\mathbf{C}(\mathbf{r}, \mathbf{p}, t)$:

$$\mathbf{C}(\mathbf{r}, \mathbf{p}, t) = \frac{\mathbf{v}(\mathbf{r}, \mathbf{p}, t)}{v_T} = \frac{\mathbf{p}}{p_T} - \frac{e}{cp_T} \mathbf{A}(\mathbf{r}, t),$$

где $v_T = \frac{1}{\sqrt{\beta}}$ – тепловая скорость электронов, $\beta = \frac{m}{2k_B T}$.

Теперь локально равновесная функция может быть представлена через скорость электронов как

$$f^{(0)}(\mathbf{r}, \mathbf{p}, t) = N \left(\frac{\beta}{\pi} \right)^{3/2} e^{-C^2}, \quad (2.2)$$

или, полагая $\mathbf{P} = \frac{\mathbf{p}}{p_T}$, в явном виде

$$f^{(0)}(\mathbf{r}, \mathbf{P}, t) = N \left(\frac{\beta}{\pi} \right)^{3/2} \exp \left[- \left(\mathbf{P} - \frac{e}{cp_T} \mathbf{A}(\mathbf{r}, t) \right)^2 \right]. \quad (2.2')$$

Отметим, что в случае постоянного потенциала $\mathbf{A} = \text{const}$ равновесная функция распределения (2.2) является решением уравнения (2.1).

Найдем среднюю скорость электронов в равновесном состоянии:

$$\mathbf{u}^{(0)}(\mathbf{r}, t) = \frac{1}{N(\mathbf{r}, t)} \int \mathbf{v}(\mathbf{r}, \mathbf{p}, t) f^{(0)}(\mathbf{r}, \mathbf{p}, t) d^3v.$$

После замены переменных $\mathbf{p} - (e/c)\mathbf{A} = \mathbf{p}'$ получаем: $\mathbf{u}^{(0)} = 0$.

Итак, скорость электронов в равновесном состоянии равна нулю.

Заметим, что числовая плотность электронов и их средняя скорость удовлетворяют обычному уравнению непрерывности:

$$\frac{\partial N}{\partial t} + \mathbf{div}(N\mathbf{u}) = 0. \quad (2.3)$$

Для вывода уравнения непрерывности (2.3) нужно проинтегрировать кинетическое уравнение (2.1) по скоростям и использовать определение числовой плотности и средней скорости. Затем следует воспользоваться законом сохранения числа частиц и проверить, что интеграл по скоростям от интеграла Вигнера—Власова равен нулю. В самом деле, имеем:

$$\begin{aligned} \int W[f] \frac{2 d^3p}{(2\pi\hbar)^3} &= 2 \int \int \left\{ \dots \right\} e^{i\mathbf{p}'\mathbf{a}/\hbar} \delta(\mathbf{a}) d^3a d^3p' = \\ &= 2 \int \left\{ \dots \right\} \Big|_{\mathbf{a}=0} d^3p' \equiv 0, \end{aligned}$$

ибо, как нетрудно проверить простой подстановкой,

$$\left. \{ \dots \} \right|_{\mathbf{a}=0} \equiv 0.$$

Здесь символ $\{ \dots \}$ означает то же самое выражение, что и в правой части соотношения (1.7).

Заметим, что левая часть кинетического уравнения (1.11) или (2.1) приобретает стандартный для теории переноса вид при следующем условии калибровки:

$$\operatorname{div} \mathbf{A}(\mathbf{r}, t) = 0. \quad (2.4)$$

При этом, т.е. в случае калибровки (2.4), кинетическое уравнение (1.11) принимает вид:

$$\frac{\partial f}{\partial t} + \mathbf{v} \frac{\partial f}{\partial \mathbf{r}} = B[f, f] + W[f], \quad (2.5)$$

в котором интеграл Вигнера—Власова равен:

$$\begin{aligned} W[f] = & \iint \left\{ \frac{e}{2mc} \left[\mathbf{A}(\mathbf{r} + \frac{\mathbf{a}}{2}, t) + \mathbf{A}(\mathbf{r} - \frac{\mathbf{a}}{2}, t) - 2\mathbf{A}(\mathbf{r}, t) \right] \nabla f + \right. \\ & + \frac{ie}{mch} \left[\mathbf{A}(\mathbf{r} + \frac{\mathbf{a}}{2}, t) - \mathbf{A}(\mathbf{r} - \frac{\mathbf{a}}{2}, t) \right] \mathbf{p}' f - \\ & - \frac{ie^2}{2mc^2\hbar} \left[\mathbf{A}^2(\mathbf{r} + \frac{\mathbf{a}}{2}, t) - \mathbf{A}^2(\mathbf{r} - \frac{\mathbf{a}}{2}, t) \right] f - \\ & \left. - \frac{ie}{\hbar} \left[U(\mathbf{r} + \frac{\mathbf{a}}{2}, t) - U(\mathbf{r} - \frac{\mathbf{a}}{2}, t) \right] f \right\} e^{i(\mathbf{p}' - \mathbf{p})\mathbf{a}/\hbar} \frac{d^3 a d^3 p'}{(2\pi\hbar)^3}. \quad (2.6) \end{aligned}$$

3. ЛИНЕАРИЗАЦИЯ КИНЕТИЧЕСКОГО УРАВНЕНИЯ И ЕГО РЕШЕНИЕ

Будем рассматривать кинетическое уравнение с интегралом столкновений в форме τ -модели.

Векторный потенциал возьмем ортогональным направлению волнового вектора \mathbf{k} : $\mathbf{k}\mathbf{A} = 0$ в виде бегущей гармонической волны:

$$\mathbf{A}(\mathbf{r}, t) = \mathbf{A}_0 e^{i(\mathbf{k}\mathbf{r} - \omega t)}.$$

Будем считать поле векторного потенциала достаточно малым. Это предположение позволяет линеаризовать уравнение и пренебречь квадратичными по полю слагаемыми.

Тогда уравнение (2.5) упрощается:

$$\frac{\partial f}{\partial t} + \mathbf{v} \frac{\partial f}{\partial \mathbf{r}} = \frac{f^{(0)} - f}{\tau} + W[f]. \quad (3.1)$$

В уравнении (3.1) локально равновесное распределение Максвелла—Больцмана имеет вид (2.2). Интеграл Вигнера — Власова (2.6) также существенно упрощается и имеет следующий вид:

$$W[f] = \frac{ie}{m\hbar} \iint \left[\mathbf{A}(\mathbf{r} + \frac{\mathbf{a}}{2}, t) - \mathbf{A}(\mathbf{r} - \frac{\mathbf{a}}{2}, t) \right] \mathbf{p}' \times \\ \times f e^{i(\mathbf{p}' - \mathbf{p})\mathbf{a}/\hbar} d^3 a d^3 v'. \quad (3.2)$$

Заметим, что

$$\mathbf{A}(\mathbf{r} + \frac{\mathbf{a}}{2}, t) - \mathbf{A}(\mathbf{r} - \frac{\mathbf{a}}{2}, t) = \mathbf{A}(\mathbf{r}, t) \left[e^{i\mathbf{k}\mathbf{a}/2} - e^{-i\mathbf{k}\mathbf{a}/2} \right].$$

Вычисляя интеграл в (3.2), находим, что

$$W[f] = \frac{ie}{m\hbar} \mathbf{A}(\mathbf{r}, t) \iint \left[e^{i\mathbf{k}\mathbf{a}/2} - e^{-i\mathbf{k}\mathbf{a}/2} \right] e^{i(\mathbf{p}' - \mathbf{p})\mathbf{a}/\hbar} d^3 a d^3 v'.$$

Внутренний интеграл равен:

$$\frac{1}{(2\pi\hbar)^3} \int \left\{ \exp \left(i \left[\mathbf{p}' - \mathbf{p} + \frac{\mathbf{k}\hbar}{2} \right] \frac{\mathbf{a}}{\hbar} \right) - \exp \left(i \left[\mathbf{p}' - \mathbf{p} - \frac{\mathbf{k}\hbar}{2} \right] \frac{\mathbf{a}}{\hbar} \right) \right\} d^3 a = \\ = \delta(\mathbf{p}' - \mathbf{p} + \frac{\hbar\mathbf{k}}{2}) - \delta(\mathbf{p}' - \mathbf{p} - \frac{\hbar\mathbf{k}}{2}).$$

После длительных вычислений находим интеграл Вигнера — Власова:

$$W[f] = \\ = \mathbf{A}(\mathbf{r}, t) \frac{ie}{m\hbar} \int \left[\delta(\mathbf{p}' - \mathbf{p} + \frac{\hbar\mathbf{k}}{2}) - \delta(\mathbf{p}' - \mathbf{p} - \frac{\hbar\mathbf{k}}{2}) \right] \mathbf{p}' f(\mathbf{r}, \mathbf{p}', t) d^3 p' =$$

$$\begin{aligned}
&= \mathbf{A}(\mathbf{r}, t) \frac{ie}{m\hbar c} \left[\left(\mathbf{p} - \frac{\hbar \mathbf{k}}{2} \right) f\left(\mathbf{r}, \mathbf{p} - \frac{\hbar \mathbf{k}}{2}, t\right) - \left(\mathbf{p} + \frac{\hbar \mathbf{k}}{2} \right) f\left(\mathbf{r}, \mathbf{p} + \frac{\hbar \mathbf{k}}{2}, t\right) \right] = \\
&= \mathbf{A}(\mathbf{r}, t) \frac{ie}{m\hbar c} \left\{ \mathbf{p} \left[f\left(\mathbf{r}, \mathbf{p} - \frac{\hbar \mathbf{k}}{2}, t\right) - f\left(\mathbf{r}, \mathbf{p} + \frac{\hbar \mathbf{k}}{2}, t\right) \right] - \right. \\
&\quad \left. - \frac{\hbar \mathbf{k}}{2} \left[f\left(\mathbf{r}, \mathbf{p} - \frac{\hbar \mathbf{k}}{2}, t\right) + f\left(\mathbf{r}, \mathbf{p} + \frac{\hbar \mathbf{k}}{2}, t\right) \right] \right\} = \\
&= \mathbf{A}(\mathbf{r}, t) \frac{ie}{m\hbar c} \mathbf{p} (f_+ - f_-),
\end{aligned}$$

где

$$f_{\pm} \equiv f\left(\mathbf{r}, \mathbf{p} \mp \frac{\hbar \mathbf{k}}{2}, t\right).$$

Следовательно, интеграл Вигнера–Власова равен:

$$\begin{aligned}
W[f] &= \frac{ie}{m\hbar c} \mathbf{p} \mathbf{A}(\mathbf{r}, t) [f_+ - f_-] = \frac{ie p_T}{m\hbar c} \mathbf{P} \mathbf{A}(\mathbf{r}, t) [f_+ - f_-] = \\
&= \frac{iev_T}{c\hbar} \mathbf{P} \mathbf{A}(\mathbf{r}, t) [f_+ - f_-]. \tag{3.3}
\end{aligned}$$

Здесь и ниже выражение $\mathbf{P} \mathbf{A}$ означает скалярное произведение.

Далее удобнее использовать безразмерную скорость \mathbf{C} в виде:

$$\mathbf{C} = \frac{\mathbf{v}}{v_T} = \frac{\mathbf{P}}{p_T} - \frac{e}{cp_T} \mathbf{A}(\mathbf{r}, t) \equiv \mathbf{P} - \frac{e}{cp_T} \mathbf{A}(\mathbf{r}, t),$$

где $\mathbf{P} = \frac{\mathbf{P}}{p_T}$ – безразмерный импульс.

В линейном приближении функцию f в интеграле Вигнера–Власова можно заменить на абсолютный максвеллиан, т.е. положить $f = f_M(P)$, где

$$f_M(P) = N \left(\frac{\beta}{\pi} \right)^{3/2} e^{-P^2}.$$

При этом интеграл Вигнера–Власова (3.3) будет иметь вид:

$$W[f_M] = \frac{iev_T}{c\hbar} \mathbf{P} \mathbf{A}(\mathbf{r}, t) [f_F^+ - f_F^-],$$

где

$$f_M^\pm \equiv f_M^\pm(\mathbf{P}) = N \left(\frac{\beta}{\pi} \right)^{3/2} e^{-\mathbf{P}^2}.$$

а $p_T = mv_T$ – тепловой импульс электронов. Здесь

$$P_\pm^2 = \left(\mathbf{P} \mp \frac{\hbar \mathbf{k}}{2p_T} \right)^2 = \left(\mathbf{P} \mp \frac{\mathbf{q}}{2} \right)^2, \quad \mathbf{q} = \frac{\mathbf{k}}{k_T}.$$

Линеаризацию равновесного распределения Максвелла–Больцмана (3.2) проведем относительно векторного потенциала $\mathbf{A}(\mathbf{r}, t)$:

$$f^{(0)} = f^{(0)} \Big|_{\mathbf{A}=0} + \frac{\partial f^{(0)}}{\partial \mathbf{A}} \Big|_{\mathbf{A}=0} \mathbf{A}(\mathbf{r}, t),$$

или, в явном виде:

$$f^{(0)} = f_M(P) \left(1 + \frac{2e}{cp_T} \mathbf{P} \mathbf{A}(\mathbf{r}, t) \right). \quad (3.4)$$

Учитывая разложение (3.4), ищем функцию Вигнера в виде:

$$f = f_M(P) \left[1 + \frac{2e}{cp_T} \mathbf{P} \mathbf{A}(\mathbf{r}, t) + \mathbf{P} \mathbf{A}(\mathbf{r}, t) h(\mathbf{P}) \right]. \quad (3.5)$$

Получаем следующее уравнение:

$$\begin{aligned} & [\mathbf{P} \mathbf{A}(\mathbf{r}, t)] f_M(P) h(\mathbf{P}) (1 - i\omega\tau + i\mathbf{k}_1 \mathbf{P}) = \\ & = \frac{iel_T}{c\hbar} [\mathbf{P} \mathbf{A}(\mathbf{r}, t)] (f_F^+ - f_F^-) + [\mathbf{P} \mathbf{A}(\mathbf{r}, t)] \frac{2ie}{cp_T} f_M(P) (\omega\tau - l_T \mathbf{k}_1 \mathbf{P}). \end{aligned}$$

Из этого уравнения находим:

$$[\mathbf{P} \mathbf{A}(\mathbf{r}, t)] f_M(P) h(\mathbf{P}) = \frac{2ie}{cp_T} \Xi(\mathbf{P}, \mathbf{k}_1) [\mathbf{P} \mathbf{A}(\mathbf{r}, t)]$$

где

$$\Xi(\mathbf{P}, \mathbf{k}_1) = \frac{\omega\tau - l_T \mathbf{k}_1 \mathbf{P}}{1 - i\omega\tau + il_T \mathbf{k}_1 \mathbf{P}} f_M(P) + \frac{\mathcal{E}_T}{\hbar\nu} \frac{f_M^+ - f_M^-}{1 - i\omega\tau + il_T \mathbf{k}_1 \mathbf{P}}. \quad (3.6)$$

С помощью (3.5) и (3.6) построим полную функцию распределения:

$$f = f^{(0)} + \frac{2ie}{cp_T} f_M(P) (\mathbf{P} \mathbf{A}) h(\mathbf{P}) =$$

$$f = f^{(0)} + \frac{2ie}{cp_T}(\mathbf{P}\mathbf{A})\Xi(\mathbf{P}, \mathbf{k}). \quad (3.7)$$

Здесь $\mathbf{k}_1 = \mathbf{k}l$, l – средняя длина свободного пробега электронов, $l = v_T\tau$, \mathbf{k}_1 – безразмерный волновой вектор.

4. ПЛОТНОСТЬ ЭЛЕКТРИЧЕСКОГО ТОКА

Рассмотрим связь поля и потенциалов:

$$\mathbf{E}(\mathbf{r}, t) = -\frac{1}{c} \frac{\partial \mathbf{A}(\mathbf{r}, t)}{\partial t} - \frac{\partial U(\mathbf{r}, t)}{\partial \mathbf{r}},$$

или

$$\mathbf{E}(\mathbf{r}, t) = \frac{i\omega}{c} \mathbf{A}(\mathbf{r}, t).$$

Следовательно, плотность тока связано с векторным потенциалом:

$$\mathbf{j}(\mathbf{r}, t) = \sigma_{tr} \frac{i\omega}{c} \mathbf{A}(\mathbf{r}, t).$$

По определению, плотность тока равна:

$$\mathbf{j}(\mathbf{r}, t) = e \int \mathbf{v}(\mathbf{r}, \mathbf{p}, t) f d^3v.$$

Заметим, что плотность тока в равновесном состоянии (калибровочная плотность тока) равна нулю:

$$\mathbf{j}^{(0)}(\mathbf{r}, t) = e \int \mathbf{v}(\mathbf{r}, \mathbf{p}, t) f^{(0)} d^3v = 0.$$

В самом деле, учитывая, что средняя скорость электронов в равновесном состоянии равна нулю, имеем:

$$\mathbf{j}^{(0)}(\mathbf{r}, t) = eN^{(0)}\mathbf{u}^{(0)}(\mathbf{r}, t) \equiv 0.$$

Следовательно, с использованием равенства (3.8) для плотности тока имеем равенство:

$$\mathbf{j}(\mathbf{r}, t) = \frac{2ie^2}{c\tau p_T} \int (\mathbf{A}\mathbf{P})\mathbf{v}(\mathbf{r}, \mathbf{p}, t)\Xi(\mathbf{P}, \mathbf{k})d^3v.$$

Подставляя в это равенство явное выражение для скорости

$$\mathbf{v}(\mathbf{r}, \mathbf{P}, t) = \frac{\mathbf{p}}{m} - \frac{e\mathbf{A}(\mathbf{r}, t)}{mc} = \frac{p_T \mathbf{P}}{m} - \frac{e\mathbf{A}(\mathbf{r}, t)}{mc},$$

и, линеаризуя его по векторному полю, получаем:

$$\mathbf{j}(\mathbf{r}, t) = \frac{2ie^2}{cm} \int [\mathbf{P}\mathbf{A}(\mathbf{r}, t)] \mathbf{P}\Xi(\mathbf{P}, \mathbf{k}) d^3v. \quad (4.1)$$

Возьмем единичный вектор $\mathbf{e}_1 = \frac{\mathbf{A}}{A}$, направленный вдоль вектора \mathbf{A} . Тогда равенство (4.2) можно записать в виде:

$$\mathbf{j}(\mathbf{r}, t) = \frac{2ie^2 A(\mathbf{r}, t)}{cm} \int (\mathbf{P}\mathbf{e}_1) \mathbf{P}\Xi(\mathbf{P}, \mathbf{k}) d^3P, \quad (4.2)$$

В силу симметрии значение интеграла (4.2) не изменится, если вектор \mathbf{e}_1 заменить на любой другой единичный вектор \mathbf{e}_2 , перпендикулярный вектору \mathbf{k}_1 , т.е.

$$\mathbf{e}_2 = \frac{\mathbf{A} \times \mathbf{k}_1}{|\mathbf{A} \times \mathbf{k}_1|} = \frac{\mathbf{A} \times \mathbf{k}_1}{Ak_1},$$

причем $\mathbf{A} \times \mathbf{k}_1$ есть векторное произведение.

Разложим вектор \mathbf{P} по трем ортогональным направлениям \mathbf{e}_1 , \mathbf{e}_2 и $\mathbf{n} = \frac{\mathbf{k}_1}{k_1}$:

$$\mathbf{P} = (\mathbf{P}\mathbf{n})\mathbf{n} + (\mathbf{P}\mathbf{e}_1)\mathbf{e}_1 + (\mathbf{P}\mathbf{e}_2)\mathbf{e}_2.$$

С помощью этого разложения получаем:

$$\begin{aligned} (\mathbf{P}\mathbf{A})\mathbf{P} &= A(\mathbf{P}\mathbf{e}_1)\mathbf{P} = \\ &= A(\mathbf{P}\mathbf{e}_1)(\mathbf{P}\mathbf{n})\mathbf{n} + A(\mathbf{P}\mathbf{e}_1)^2\mathbf{e}_1 + A(\mathbf{P}\mathbf{e}_1)(\mathbf{P}\mathbf{e}_2)\mathbf{e}_2. \end{aligned}$$

Подставляя это разложение в (4.2), и, учитывая, что интегралы от нечетных функций по симметричному промежутку равны нулю, получаем:

$$\mathbf{j}(\mathbf{r}, t) = \frac{2ie^2 \mathbf{A}(\mathbf{r}, t)}{cm} \int (\mathbf{P}\mathbf{e}_1)^2 \Xi(P^2, \mathbf{P}\mathbf{n}) d^3P. \quad (4.3)$$

Ввиду симметрии значение интеграла не изменится, если вектор \mathbf{e}_1 заменить на любой другой единичный вектор \mathbf{e}_2 , перпендикулярный вектору \mathbf{k}_1 . Поэтому

$$\begin{aligned} \int (\mathbf{e}_1 \mathbf{P})^2 [\dots] d^3 P &= \int (\mathbf{e}_2 \mathbf{P})^2 [\dots] d^3 P = \\ &= \frac{1}{2} \int [(\mathbf{e}_1 \mathbf{P})^2 + (\mathbf{e}_2 \mathbf{P})^2] [\dots] d^3 P. \end{aligned}$$

Заметим, что квадрат длины вектора \mathbf{P} равен:

$$P^2 = (\mathbf{P} \mathbf{e}_1)^2 + (\mathbf{P} \mathbf{e}_2)^2 + (\mathbf{P} \mathbf{n})^2,$$

откуда

$$(\mathbf{e}_1 \mathbf{P})^2 + (\mathbf{e}_2 \mathbf{P})^2 = P^2 - \frac{(\mathbf{P} \mathbf{k}_1)^2}{k_1^2} = P^2 - (\mathbf{P} \mathbf{n})^2 = P_\perp^2,$$

где P_\perp – проекция вектора \mathbf{P} на прямую, перпендикулярную плоскости $(\mathbf{e}_1, \mathbf{e}_2)$.

Отсюда для плотности тока получаем следующее выражение

$$\mathbf{j}(\mathbf{r}, t) = \frac{ie^2 \mathbf{A}(\mathbf{r}, t)}{cm} \int \Xi(\mathbf{P}, \mathbf{k}) P_\perp^2 d^3 v.$$

Заменяя ток в левой части этого равенства выражением через поле, получаем:

$$\sigma_{tr} = \frac{e^2}{m\omega} \int \Xi(\mathbf{P}, \mathbf{k}) P_\perp^2 d^3 v.$$

5. ЭЛЕКТРИЧЕСКАЯ ПРОВОДИМОСТЬ И ДИЭЛЕКТРИЧЕСКАЯ ПРОНИЦАЕМОСТЬ

Запишем предыдущее выражение в явном виде:

$$\sigma_{tr} = \frac{e^2 N}{m\omega\pi^{3/2}} \int \left[\frac{\omega\tau - \mathbf{k}_1 \mathbf{P}}{1 - i\omega\tau + i\mathbf{k}_1 \mathbf{P}} f_0(P) + \frac{\xi_T}{\hbar\nu} \frac{f_0^+ - f_0^-}{1 - i\omega\tau + i\mathbf{k}_1 \mathbf{P}} \right] P_\perp^2 d^3 P. \quad (5.1)$$

Здесь

$$f_0(P) = e^{-P^2}, \quad f_0^\pm = f_0(\mathbf{P}_\pm) = e^{-\mathbf{P}_\pm^2} = e^{-\left(\mathbf{P} \mp \frac{\mathbf{q}}{2}\right)^2}.$$

Из последней формулы получаем выражение поперечной диэлектрической проницаемости в квантовой максвелловской плазме:

$$\sigma_{tr} = \sigma_0 \frac{\nu}{\omega \pi^{3/2}} \int \Xi(\mathbf{P}, \mathbf{k}) P_{\perp}^2 d^3 P. \quad (5.2)$$

Здесь $\sigma_0 = \frac{e^2 N}{m \nu}$ – классическая проводимость.

Диэлектрическая проницаемость квантовой максвелловской столкновительной плазмы определяется выражением:

$$\varepsilon_{tr} = 1 + \frac{4\pi i}{\omega} \sigma_{tr} = 1 + i \frac{\omega_p^2}{\omega^2} \frac{1}{\pi^{3/2}} \int \Xi(\mathbf{P}, \mathbf{k}) P_{\perp}^2 d^3 P. \quad (5.3)$$

В длинноволновом пределе (когда $k \rightarrow 0$) из формулы (5.2) получаем известное классическое выражение:

$$\sigma_{tr} = \frac{\sigma_0}{1 - i\omega\tau} = \sigma_0 \frac{\nu}{\nu - i\omega}.$$

Рассмотрим квантовомеханический предел ($\hbar \rightarrow 0$) электрической проводимости в случае произвольных значений волнового числа, т.е. предел электрической проводимости в случае, когда постоянная Планка стремится к нулю, а величина волнового числа k – произвольная. При малых \hbar имеем:

$$\begin{aligned} f_0^{\pm} &= e^{-P^2 \pm \mathbf{P} \frac{\mathbf{k}}{k_T}} = f_0(P) \left(1 \pm \mathbf{P} \frac{\mathbf{k}}{k_T} \right) = \\ &= f_0(P) \left(1 \pm \frac{P_x k}{k_T} \right) = f_0(P) \left(1 \pm \frac{\hbar P_x k}{m v_T} \right). \end{aligned}$$

Следовательно,

$$(\omega\tau - \mathbf{k} l_T \mathbf{P}) f_0(P) + \frac{p_T^2 \tau}{2m\hbar} [f_0(\mathbf{P}_+) - f_0(\mathbf{P}_-)] = \omega\tau f_0(P).$$

Таким образом, в линейном приближении при малых \hbar (независимо от величины k) для поперечной электрической проводимости максвелловской квантовой столкновительной плазмы получаем:

$$\sigma_{tr} = \sigma_{tr}^{\text{classic}}, \quad (5.4)$$

где

$$\frac{\sigma_{tr}^{\text{classic}}}{\sigma_0} = \frac{1}{\pi^{3/2}} \int \frac{e^{-P^2} P_{\perp}^2 d^3 P}{1 - i\omega\tau + i\mathbf{k}_1 \mathbf{P}}. \quad (5.5)$$

Выражение (5.5) в точности совпадает с выражением поперечной электрической проводимости для классической максвелловской плазмы с произвольной температурой.

Вернемся к выражению (5.2). Представим его в виде суммы двух слагаемых:

$$\sigma_{tr} = \sigma_{tr}^{\text{classic}} + \sigma_{tr}^{\text{quant}}, \quad (5.6)$$

где первое слагаемое определяется равенством (5.5), а второе – равенством:

$$\frac{\sigma_{tr}^{\text{quant}}}{\sigma_0} = \frac{1}{\pi^{3/2}} \int \left[-\frac{\mathbf{k}_1 \mathbf{P}}{\omega\tau} + \frac{\xi_T}{\hbar\omega} [f_0^+ - f_0^-] \right] \frac{P_{\perp}^2 d^3 P}{1 - i\omega\tau + i\mathbf{k}_1 \mathbf{P}} \quad (5.7)$$

Точно так же для диэлектрической проницаемости можно написать:

$$\varepsilon_{tr} = \varepsilon_{tr}^{\text{classic}} + \varepsilon_{tr}^{\text{quant}}. \quad (5.7)$$

В (5.7)

$$\varepsilon_{tr}^{\text{classic}} = 1 + i \frac{\omega_p^2}{\omega^2} \omega\tau \frac{1}{\pi^{3/2}} \int \frac{P_{\perp}^2 d^3 P}{1 - i\omega\tau + i\mathbf{k}_1 \mathbf{P}}, \quad (5.8)$$

$$\varepsilon_{tr}^{\text{quant}} = i \frac{\omega_p^2}{\omega^2} \frac{1}{\pi^{3/2}} \int \left[-\mathbf{k}_1 \mathbf{P} e^{-P^2} + \frac{\xi_T}{\hbar\nu} \left(e^{-\mathbf{P}_{+}^2} - e^{-\mathbf{P}_{-}^2} \right) \right] \frac{P_{\perp}^2 d^3 P}{1 - i\omega\tau + i\mathbf{k}_1 \mathbf{P}} \quad (5.9)$$

Выражение (5.8) в точности совпадает с классическим выражением диэлектрической проницаемости максвелловской плазмы, а выражение (5.9) определяется квантовыми свойствами максвелловской плазмы.

Согласно (5.7) получаем выражение для диэлектрической проницаемости в квантовой столкновительной плазме:

$$\varepsilon_{tr} = 1 + \frac{\omega_p^2}{\omega^2} \frac{i}{4\pi f_2(\alpha)} \int \left\{ \left[\omega\tau - \mathbf{k}_1 \mathbf{P} \right] g(P) + \right. \\ \left. + \frac{\xi_T}{\hbar\nu} \left[f_F^+(\mathbf{P}) - f_F^-(\mathbf{P}) \right] \right\} \frac{P_{\perp}^2 d^3 P}{1 - i\omega\tau + i\mathbf{k}_1 \mathbf{P}}. \quad (5.10)$$

6. ПРАВИЛО СУММ

Проверим выполнение одного из соотношений, называемого называемого правилом f -сумм (см., например, [14],[11]) для поперечной диэлектрической проницаемости (6.14). Это правило выражается формулой (4.200) из монографии [14]

$$\int_{-\infty}^{\infty} \varepsilon_{tr}(q, \omega, \nu) \omega d\omega = \pi \omega_p^2. \quad (6.1)$$

Как показано в [14], для доказательства соотношения (6.1) достаточно доказать выполнение предельного соотношения

$$\varepsilon_{tr}(q, \omega, \nu) = 1 - \frac{\omega_p^2}{\omega^2} + o\left(\frac{1}{\omega^2}\right), \quad \omega \rightarrow \infty. \quad (6.2)$$

Из выражения (5.9) видно, что

$$\varepsilon_{tr}^{\text{quant}} = o\left(\frac{1}{\omega^2}\right), \quad \omega \rightarrow \infty.$$

С помощью этого предельного соотношения представим соотношение (5.10) с использованием равенства (5.7) при больших ω ($\omega \gg 1$) в виде:

$$\varepsilon_{tr} = 1 + \frac{i\omega_p^2 \omega \tau}{\pi^{3/2} \omega^2} \int \frac{e^{-P^2} P_{\perp}^2 d^3 P}{1 - i\omega \tau + i\mathbf{k}_1 \mathbf{P}} + o\left(\frac{1}{\omega^2}\right), \quad \omega \rightarrow \infty. \quad (6.3)$$

Нетрудно видеть, что соотношение (6.3) при $\omega \rightarrow \infty$ записывается в виде

$$\varepsilon_{tr} = 1 - \frac{\omega_p^2}{\omega^2 \pi^{3/2}} \int e^{-P^2} P_{\perp}^2 d^3 P + o\left(\frac{1}{\omega^2}\right), \quad \omega \rightarrow \infty. \quad (6.4)$$

Из соотношения (6.4) и вытекает соотношение (6.2), если учесть, что

$$\frac{1}{\pi^{3/2}} \int e^{-P^2} P_{\perp}^2 d^3 P = 1.$$

7. ВЫЧИСЛЕНИЕ ЭЛЕКТРИЧЕСКОЙ ПРОВОДИМОСТИ И ДИЭЛЕКТРИЧЕСКОЙ ПРОНИЦАЕМОСТИ

Начнем с электрической проводимости. Вектор \mathbf{k} направим вдоль оси x . Заметим, что

$$\begin{aligned} 1 - i\omega\tau + iklP_x &= ikl\left(P_x - \frac{\omega + i\nu}{k\nu l}\right) = ikl\left(P_x - \frac{\omega + i\nu}{k\nu l}\right) = \\ &= ikl\left(P_x - \frac{z}{q}\right) = i\frac{q}{y}\left(P_x - \frac{z}{q}\right), \end{aligned}$$

где q – безразмерное волновое число, $q = \frac{k}{k_T}$,

$$z = x + iy = \frac{\omega + i\nu}{k_T v_T}, \quad x = \frac{\omega}{k_T v_T}, \quad y = \frac{\nu}{k_T v_T}.$$

Заметим также, что

$$\begin{aligned} \mathbf{P}_\pm^2 &= \left(\mathbf{P} \mp \frac{\hbar\mathbf{k}}{2p_T}\right)^2 = \left(\mathbf{P} - \frac{\mathbf{q}}{2}\right)^2 = \\ &= \left(P_x - \frac{q}{2}\right)^2 + P_y^2 + P_z^2 = \left(P_x - \frac{q}{2}\right)^2 + P_\perp^2. \end{aligned}$$

Теперь формулу (5.1) можно переписать в виде:

$$\frac{\sigma_{tr}}{\sigma_0} = \frac{1}{iqk_T l_T \pi^{3/2}} \int \frac{e^{-P^2} P_\perp^2 d^3 P}{P_x - z/q}.$$

Эту формулу представим в виде

$$\frac{\sigma_{tr}^{\text{classic}}}{\sigma_0} = -\frac{iy}{q} \frac{1}{\sqrt{\pi}} \int_{-\infty}^{\infty} \frac{e^{-\tau^2} d\tau}{\tau - z/q} = -\frac{iy}{q} t(z/q), \quad (7.1)$$

где

$$t(z/q) = \frac{1}{\sqrt{\pi}} \int_{-\infty}^{\infty} \frac{e^{-\tau^2} d\tau}{\tau - z/q}.$$

Точно так же, для классической диэлектрической функции получаем:

$$\varepsilon_{tr}^{\text{classic}} = 1 + \frac{x_p^2}{xq\sqrt{\pi}} \int_{-\infty}^{\infty} \frac{e^{-\tau^2} d\tau}{\tau - z/q} = 1 + \frac{x_p^2}{xq} t(z/q). \quad (7.2)$$

Здесь

$$\frac{\omega_p^2}{\omega^2} = \frac{x_p^2}{x^2}, \quad x_p = \frac{\omega_p}{k_T v_T}.$$

Перейдем к вычислению квантовых поправок. Для электрической проводимости имеем:

$$\frac{\sigma_{tr}^{\text{quant}}}{\sigma_0} = \frac{i\nu}{\omega\pi^{3/2}} \int \frac{e^{-P^2} P_x P_{\perp}^2 d^3 P}{P_x - z/q} - \frac{i\mathcal{E}_T}{\hbar\omega k_T l_T q \pi^{3/2}} \int \frac{(f_0^+ - f_0^-) P_{\perp}^2 d^3 P}{P_x - z/q}.$$

Отсюда получаем

$$\frac{\sigma_{tr}^{\text{quant}}}{\sigma_0} = \frac{iy}{x} \left[\lambda(z/q) + \frac{1}{2} T(z, q) \right], \quad (7.3)$$

где

$$\lambda(z) = 1 + zt(z), \quad T(z, q) = \frac{1}{\sqrt{\pi}} \int_{-\infty}^{\infty} \frac{e^{-\tau^2} d\tau}{(\tau - z/q)^2 - (q/2)^2}.$$

На основании (7.3) для диэлектрической функции получаем:

$$\varepsilon_{tr}^{\text{quant}} = -\frac{\omega_p}{\omega^2} \left[\lambda(z/q) + \frac{1}{2} T(z, q) \right]. \quad (7.4)$$

Выпишем на основании предыдущих равенств формулу для электрической проводимости

$$\frac{\sigma_{tr}}{\sigma_0} = \frac{iy}{x} \left[-\frac{x}{q} t(z/q) + \lambda(z/q) + \frac{1}{2} T(z, q) \right] \quad (7.5)$$

и для диэлектрической функции

$$\varepsilon_{tr} = 1 - \frac{x_p^2}{x^2} \left[-\frac{x}{q} t(z/q) + \lambda(z/q) + \frac{1}{2} T(z, q) \right]. \quad (7.6)$$

8. АНАЛИЗ РЕЗУЛЬТАТОВ И ЗАКЛЮЧЕНИЕ

Для численного и графического анализа воспользуемся формулами (7.1)–(7.6).

На рис. 1–4 и 7,8 все кривые 1 отвечают классической плазме, а кривые 2 – квантовой.

На рис. 1 и 2 представлены зависимости действительной и мнимой частей относительной электрической проводимости $\text{Re}(\sigma_{tr}/\sigma_0)$

и $Im(\sigma_{tr}/\sigma_0)$ квантовой и классической плазмы от величины безразмерной частоты колебаний векторного потенциала $x = \omega/k_T v_T$ для случая $q = 0.05, y = 0.01$. Отметим, что при $x \geq 0.5$ величины действительной и мнимой частей классической и квантовой плазмы практически совпадают. При уменьшении значения безразмерного волнового числа q величины действительной и мнимой частей для классической и квантовой плазмы начинают мало различаться и при $q = 0.1$ практически совпадают. На рис. 3 и 4 представлены зависимости действительной и мнимой частей относительной электрической проводимости классической и квантовой плазмы как функции безразмерного волнового числа для случая $x = 1, y = 0.01$. При $q \leq 1$ значения проводимостей классической и квантовой плазмы практически совпадают и при $q \rightarrow 0$ проводимость квантовой плазмы переходит в проводимость классической. Отметим, что мнимая часть относительной проводимости квантовой плазмы стремится не к нулю при $q \rightarrow \infty$, как действительная часть, а стремится к конечному пределу. Найдем этот предел

$$\lim_{q \rightarrow \infty} \frac{\sigma_{tr}^{\text{quant}}}{\sigma_0} = \frac{iy}{x}.$$

На рис. 5 и 6 представлены зависимости действительной и мнимой частей относительной электрической проводимости квантовой плазмы как функции безразмерного волнового числа при различных значениях безразмерной частоты колебаний векторного потенциала при $x = 0.1, 0.2, 0.3$ (действительная часть) и при $x = 1, 1.5, 2$ (мнимая часть). Заметим, что действительная часть проводимости имеет только максимум, а мнимая часть — и максимум, и минимум. С ростом величины x значения действительной, и мнимой частей уменьшаются.

В настоящей работе выведены формулы для вычисления поперечной электрической проводимости и диэлектрической проницаемости в квантовой невырожденной столкновительной плазме. Для этого используется кинетическое уравнение Вигнера—Власова—Больцмана с интегралом столкновений в форме БГК–модели (Бхатнагар, Гросс и Крук).

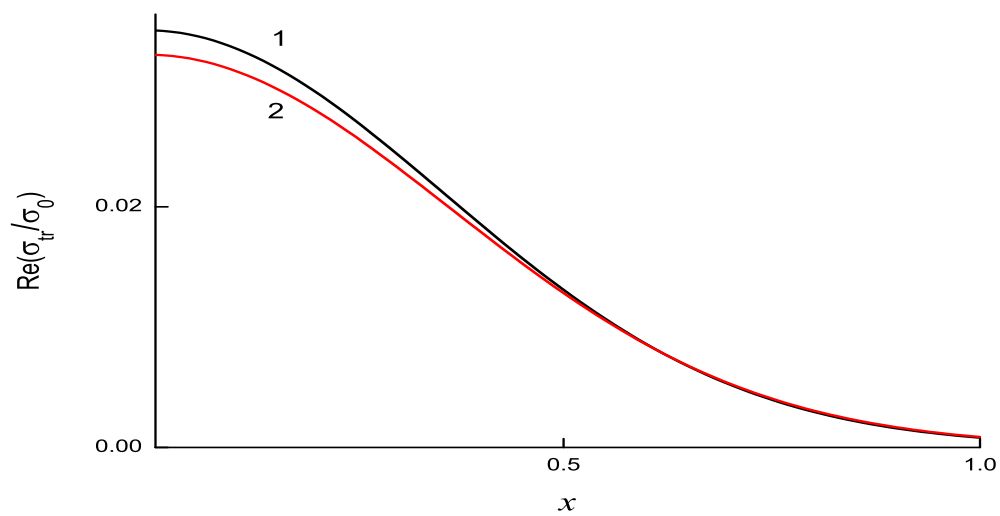


Рис. 1. Случай: $q = 0.5, y = 0.01$. Зависимость $\text{Re}(\sigma_{tr}/\sigma_0)$ от величины x .

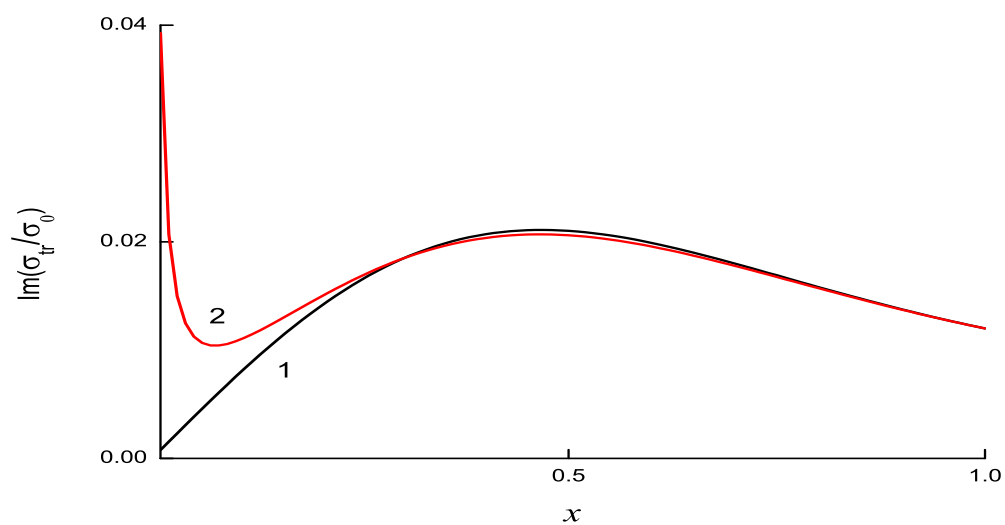


Рис. 2. Случай: $q = 0.5, y = 0.01$. Зависимость $\text{Im}(\sigma_{tr}/\sigma_0)$ от величины x .

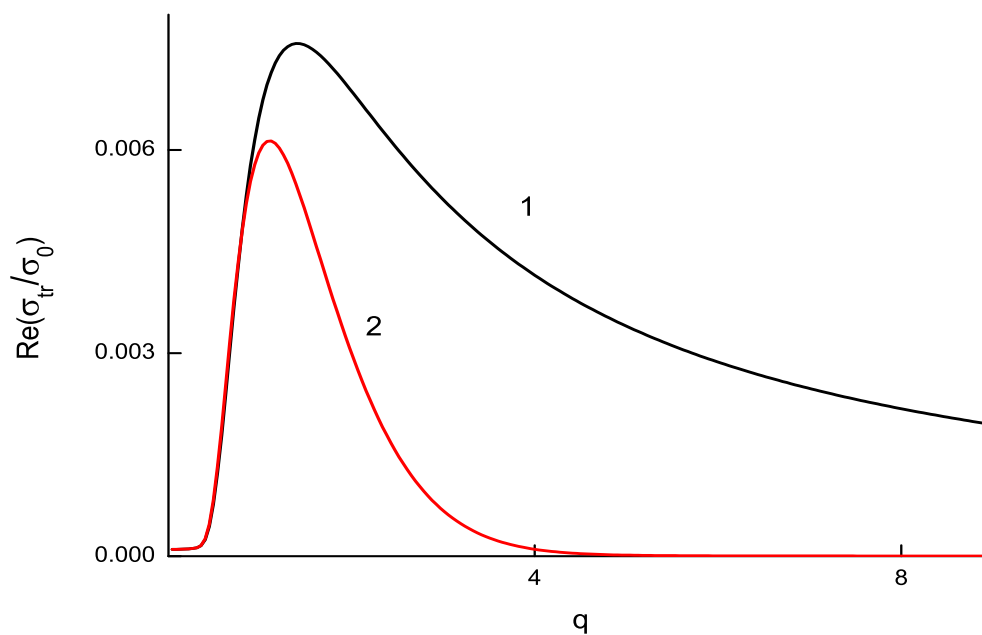


Рис. 3. Случай: $x = 1, y = 0.01$. Зависимость $\text{Re}(\sigma_{tr}/\sigma_0)$ от величины q .

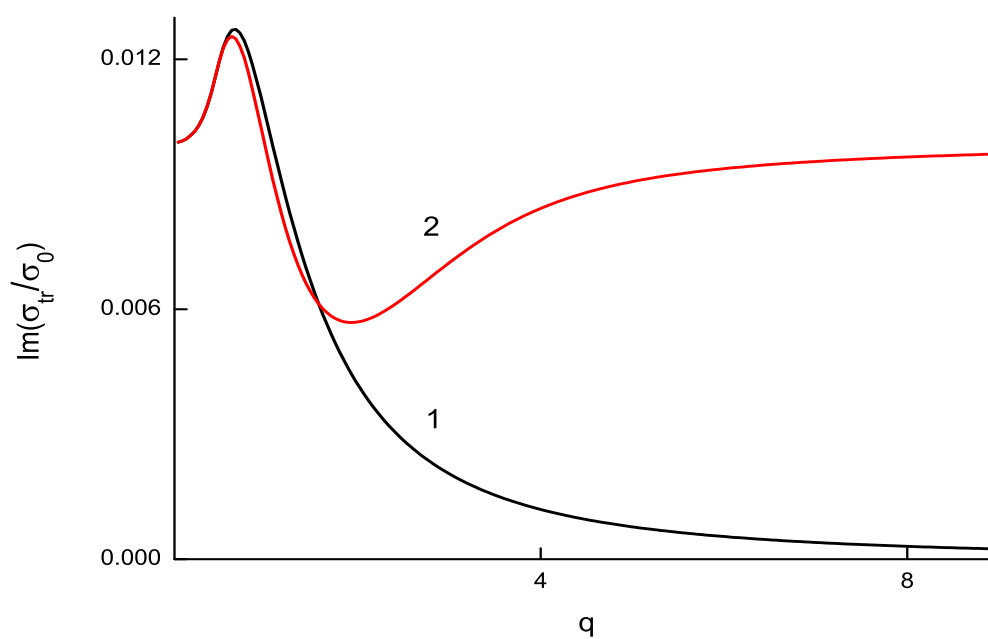


Рис. 4. Случай: $x = 1, y = 0.01$. Зависимость $\text{Im}(\sigma_{tr}/\sigma_0)$ от величины q .

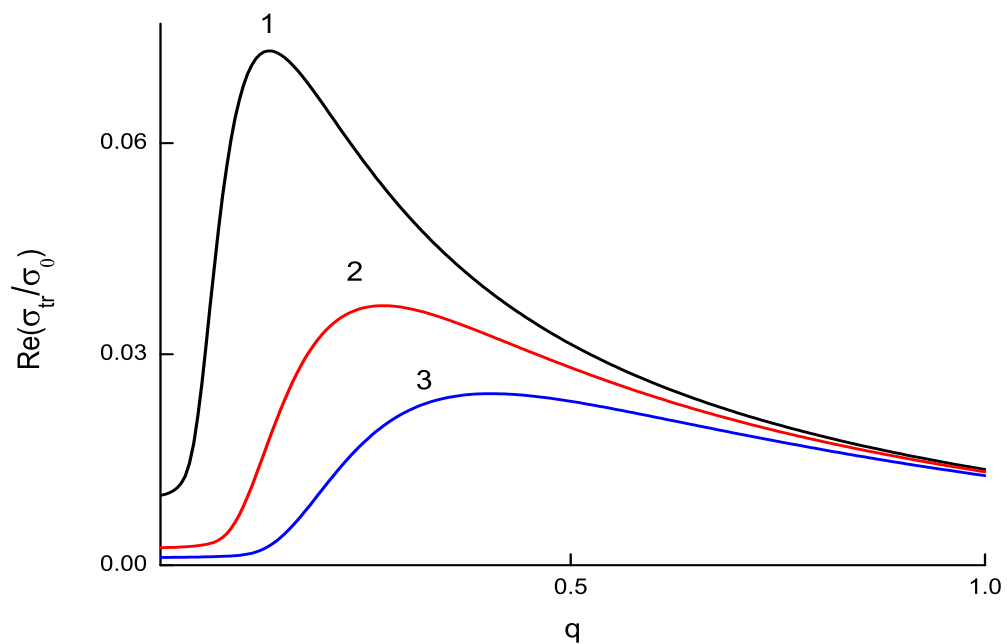


Рис. 5. Зависимость $\text{Re}(\sigma_{tr}/\sigma_0)$ от величины q . Кривые 1, 2, 3 отвечают значениям параметра $x = 0.1, 0.2, 0.3$.

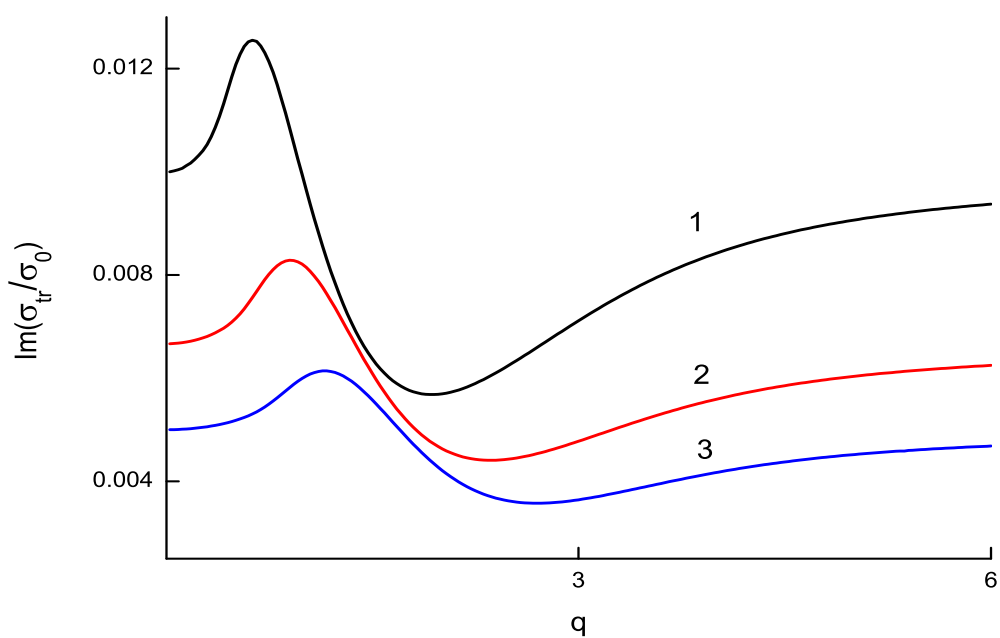


Рис. 6. Зависимость $\text{Im}(\sigma_{tr}/\sigma_0)$ от величины q . Кривые 1, 2, 3 отвечают значениям параметра $x = 1, 1.5, 2$.

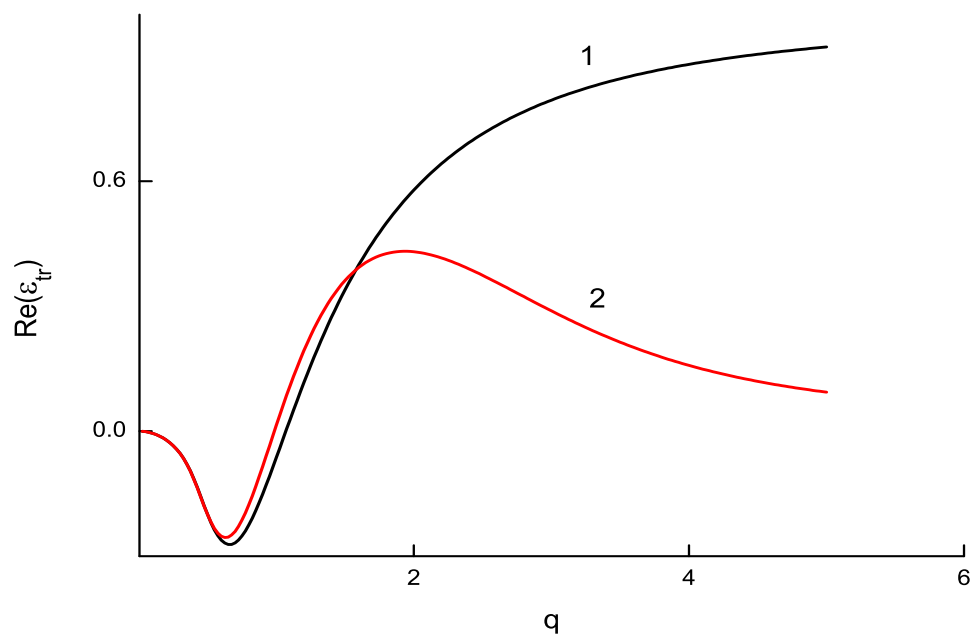


Рис. 7. Зависимость $\text{Re}(\varepsilon_{tr})$ от величины q .

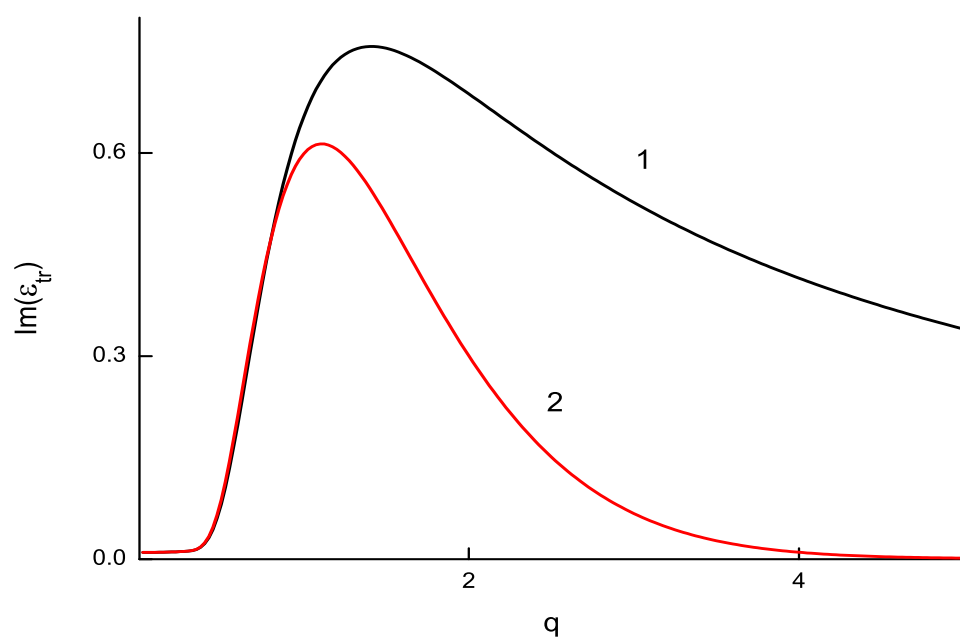


Рис. 8. Зависимость $\text{Im}(\varepsilon_{tr})$ от величины q .

ЛИТЕРАТУРА

1. *Klimontovich Y. and Silin V.P.* The Spectra of Systems of Interacting Particles // JETF (Journal Experimental Theoreticheskoi Fiziki), **23**, 151 (1952).
2. *Lindhard J.* On the properties of a gas of charged particles // Kongelige Danske Videnskabernes Selskab, Matematisk–Fysiske Meddelelser. V. 28, №8 (1954), 1–57.
3. *Kliewer K.L., Fuchs R.* Lindhard Dielectric Functions with a Finite Electron Lifetime // Phys. Rev. 1969. V. 181. №2. P. 552–558.
4. *Mermin N.D.* Lindhard Dielectric Functions in the Relaxation–Time Approximation // Phys. Rev. B. 1970. V. 1, №5. P. 2362–2363.
5. *Manfredi G.* How to model quantum plasmas // ArXiv:quant-ph/0505004. 30 pp.
6. *De Andrés P., Monreal R., and Flores F.* Relaxation–time effects in the transverse dielectric function and the electromagnetic properties of metallic surfaces and small particles / Phys. Rev. **B**. 1986. Vol. 34, №10, 7365–7366.
7. *Shukla P.K. and Eliasson B.* Nonlinear aspects of quantum plasma physics // Uspekhy Fiz. Nauk, **53**(1) 2010; [V. 180. No. 1, 55–82 (2010) (in Russian)].
8. *Opher M., Morales G.J., Leboeuf J.N.* Krook collisional models of the kinetic susceptibility of plasmas // Phys. Rev. E. V. 66, 016407, 2002.
9. *Fuchs R., Kliewer K.L.* Surface plasmon in a semi–infinite free–electron gas // Phys. Rev. B. 1971. V. 3. №7. P. 2270–2278.
10. *Fuchs R., Kliewer K.L.* Optical properties of an electron gas: further studies of a nonlocal description // Phys. Rev. 1969. V. 185. №3. P. 905–913.
11. *Dressel M., Grüner G.* Electrodynamics of Solids. Optical Properties of Electrons in Matter / Cambridge. Univ. Press. 2003. 487 p.
12. *Brodin G., Marklund M., Manfredi G.* Quantum Plasma Effects in the Classical Regime // Phys. Rev. Letters. **100**, (2008). P. 175001-1 – 175001-4.
13. *Wigner E.P.* On the quantum correction for thermodynamic equilibrium // Phys. Rev. **40** (1932), 749–759.
14. *Pains D, Nozière P.* The theory of quantum liquids// Benjamin, New York, 1969.